

微分方程数值解 - 第九章理论作业

强基数学 2001 班樊睿

2023 年 3 月 29 日

习题 1 (9.5). 证明近似解的相对误差由相对残量控制, 即

$$\frac{1}{\text{cond}(A)} \frac{\|r\|_2}{\|b\|_2} \leq \frac{\|e\|_2}{\|x\|_2} \leq \text{cond}(A) \frac{\|r\|_2}{\|b\|_2}. \quad (1)$$

证明. 因为 $Ae = r, A^{-1}r = e, Ax = b, A^{-1}b = x$, 所以

$$\begin{aligned} & \frac{1}{\text{cond}(A)} \frac{\|r\|_2}{\|b\|_2} \\ &= \frac{1}{\|A\|_2 \|A^{-1}\|_2} \frac{\|Ae\|_2}{\|b\|_2} \\ &\leq \frac{1}{\|A\|_2 \|A^{-1}\|_2} \frac{\|A\|_2 \|e\|_2}{\|b\|_2} \\ &= \frac{\|e\|_2}{\|A^{-1}\|_2 \|b\|_2} \\ &\leq \frac{\|e\|_2}{\|x\|_2}. \end{aligned} \quad (2)$$

另一方面,

$$\begin{aligned} & \text{cond}(A) \frac{\|r\|_2}{\|b\|_2} \\ &= \|A\|_2 \|A^{-1}\|_2 \frac{\|r\|_2}{\|b\|_2} \\ &\geq \|A\|_2 \|A^{-1}\|_2 \frac{\|r\|_2}{\|A\|_2 \|x\|_2} \\ &= \frac{\|A^{-1}\|_2 \|r\|_2}{\|x\|_2} \\ &\geq \frac{\|e\|_2}{\|x\|_2}. \end{aligned}$$

□

习题 2 (9.8). 求一维 *Dirichlet* 边值问题的离散矩阵 A 的条件数 $\text{cond}(A)$ 在 $n = 8$ 和 $n = 1024$ 时的值。

解. 根据 Lem 7.25 可得

$$\lambda_k(A) = \frac{4}{h^2} \sin^2 \frac{k\pi}{2(n+1)}. \quad (3)$$

由条件数的定义, 有

$$\text{cond}(A) = \frac{\lambda_n(A)}{\lambda_1(A)} = \frac{\sin^2 \frac{(n-1)\pi}{2n}}{\sin^2 \frac{\pi}{2n}} = \tan^2 \frac{(n-1)\pi}{2n} \quad (4)$$

当 $n = 8$ 时, $\text{cond}(A) = 25.27$.

当 $n = 1024$ 时, $\text{cond}(A) = 424971.18$. □

习题 3 (9.11). 对 $\Omega = (0, 1)$, 作图说明网格 Ω^h 上能表示的最多的波数为 $n_{\max} = \frac{1}{h}$ 。如果 *Fourier mode* 在所有边界点处均为 0, 情况如何?

解. 以 $n = 6, h = \frac{1}{6}$ 为例。

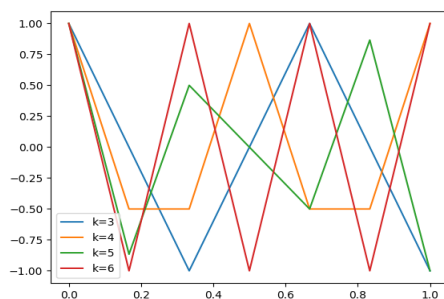


图 1: 题 9.11 图-1

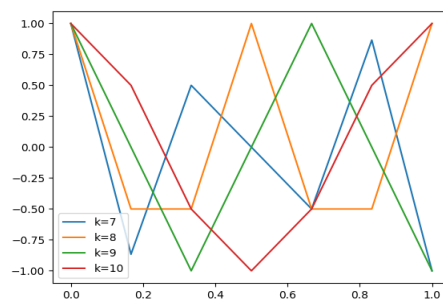


图 2: 题 9.11 图-2

通过作出 $y = \cos(k\pi x)$ 在 $k = 3, 4, \dots, 10$ 的图像 (如 1、2所示), 可知: $k \leq n$ 时, 网格上显示的波数和实际波数相同; $k > n$ 时, 网格上显示的波数为 $2n - k$ 。

若要求边界点处的值为 0, 则当 $k = n$ 时网格点处的值也均为 0。这时是不能显示出 n 个半波的。此时最多只能显示出 $n - 1$ 个半波。 □

习题 4 (9.14). 作出 *Example 9.13* 的 $n = 6$ 情形的图。

解. 作图代码如下:

```

1  N = 1000
2  n = 6
3  k1 = n*0.5
4  k2 = n*1.5
5
6  def w(k, x) :
7      return math.sin(k*pi*x)
8
9  xx = [i/N for i in range(N+1)]
10 yy1 = [w(k1,t) for t in xx]
11 yy2 = [w(k2,t) for t in xx]
12
13 x = [i/n for i in range(n+1)]
14 y1 = [w(k1,t) for t in x]
15 y2 = [w(k2,t) for t in x]
16
17 plt.plot(xx,yy1)
18 plt.plot(xx,yy2)
19 plt.plot(x,y1)
20 plt.plot(x,y2)

```

画出 $y = \sin \frac{n}{2}x$ 和 $y = \sin \frac{3n}{2}x$ 的图像, 以及仅利用格点处的值线性插值的图像, 如图 3 所示。

由图 3 可知, 虽然两条曲线本身波数不同, 但在 $n = 6$ 的网格上都只能描述出 $\frac{n}{2} = 3$ 个半波。□

习题 5 (9.17). 对一维 *Dirichlet* 边值问题的线性系统 $Au = f$ 证明加权 *Jacobi* 迭代的迭代矩阵, 证明

$$T_{\omega} = (1 - \omega)I + \omega D^{-1}(L + U) = I - \frac{\omega h^2}{2}A, \quad (5)$$

其特征向量和 A 的相同, 特征值为

$$\lambda_k(T_{\omega}) = 1 - 2\omega \sin^2 \frac{k\pi}{2n}. \quad (6)$$

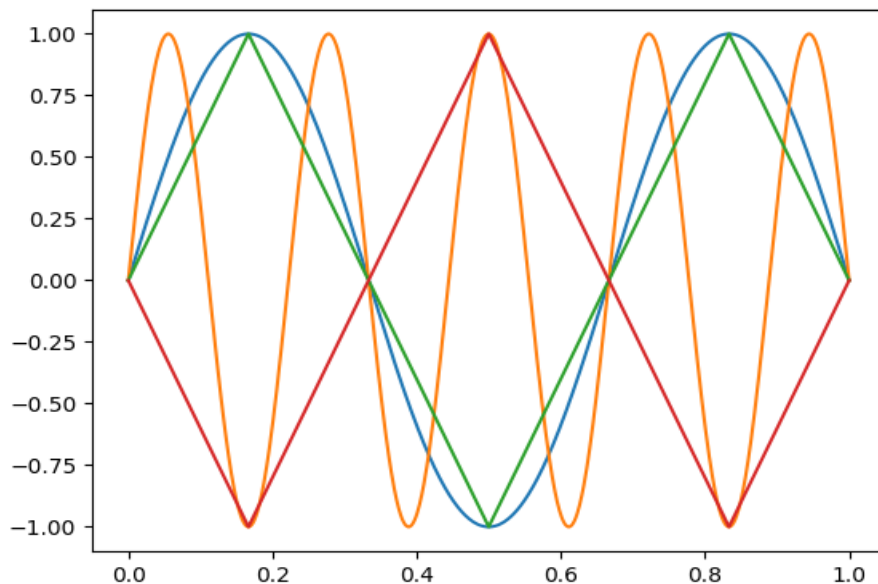


图 3: 题 9.14 图

证明. 根据迭代矩阵的公式, 有

$$\begin{aligned}
 T_w &= (1 - \omega)I + \omega D^{-1}(L + U) \\
 &= (1 - \omega)I + \omega D^{-1}(L + U - D) + \omega I \\
 &= I - \omega D^{-1}A
 \end{aligned} \tag{7}$$

其中第三个等号是因为 $A = D - L - U$ 。

因为 A 的对角线元素全是 $\frac{2}{h^2}$, 所以 $D = \frac{2}{h^2}I$, $D^{-1} = \frac{h^2}{2}I$ 。
因此

$$T_w = I - \frac{\omega h^2}{2}A. \tag{8}$$

设 v_k 是对应 A 的特征值 λ_k 特征向量。则

$$T_w v_k = (1 - \frac{\omega h^2}{2}A)v_k = v_k - \frac{\omega h^2}{2}A v_k = v_k - \frac{\omega h^2}{2}\lambda_k v_k = (1 - \frac{\omega h^2}{2}\lambda_k)v_k \tag{9}$$

因此 v_k 是对应 T_w 的特征值

$$1 - \frac{\omega h^2}{2}\lambda_k = 1 - \frac{\omega h^2}{2} \frac{4}{h^2} \sin^2 \frac{k\pi}{2n} = 1 - 2\omega \sin^2 \frac{k\pi}{2n} \tag{10}$$

的特征向量。 \square

习题 6 (9.18). 用程序作出 *Fig. 2.7 by Briggs et al. [2000]*. $n = 64, \omega \in [0, 1]$. 证明 $\rho(T_\omega) \geq 0.9986$, 即收敛速度缓慢。

解. 作图代码如下:

```

1  n = 64
2  def lmd(w, k) :
3      return 1 - 2 * w * math.sin(k*pi / (2*n)) ** 2
4
5  plt.xlabel('k')
6  plt.ylabel('eigenvalue')
7  plt.plot([0, 64], [0, 0])
8  ks = [k for k in range(1, n)]
9  for w in [1/3, 1/2, 2/3, 1]:
10     ls = [lmd(w, k) for k in ks]
11     plt.plot(ks, ls, label = "w={:f}".format(w))
12 plt.legend()

```

结果如图 4 所示。

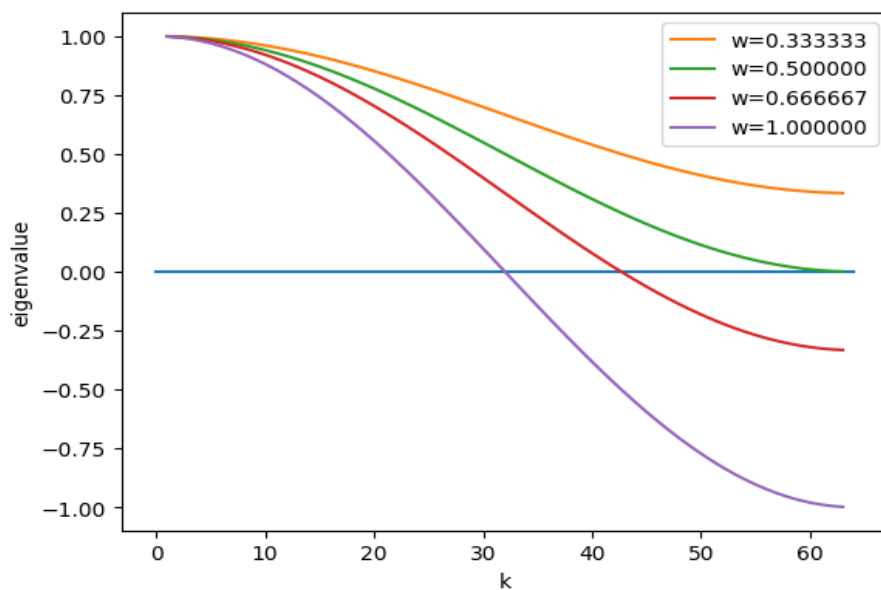


图 4: 题 9.18 图

当 $n = 64, \omega \in (0, 1)$ 时,

$$\rho(T_\omega) = \lambda_{\max} > 1 - 2 \sin^2 \frac{\pi}{2n} \approx 0.998795. \quad (11)$$

根据迭代法收敛速度的性质, 因为 $\rho(T_\omega) \rightarrow 1$, 所以收敛速度缓慢。

□

习题 7 (9.21). 用程序作出 *Fig. 2.8 by Briggs et al. [2000]*. 证明常规 Jacobi 方法只在 $16 \leq k \leq 48$ 的模式是良好的。反之, 对于 $\omega = \frac{1}{3}$, 证明对 $16 \leq k < 64$ 均是良好的。

解. 作图代码如下:

```

1  n = 64
2
3  def lmd(w, k) :
4      return 1 - 2 * w * math.sin(k*pi / (2*n)) ** 2
5  def itnum(w, k) :
6      return min(100, math.log(0.01) / math.log(abs(lmd(w, k))))
7
8  plt.xlabel('k')
9  plt.ylabel('iteration times')
10 ks = [k for k in range(1,n)]
11 for w in [1, 2/3]:
12     ls = [itnum(w, k) for k in ks]
13     plt.plot(ks, ls, label = "w={:f}".format(w))
14 plt.legend()

```

结果如图 5 所示。

蓝色和黄色曲线分别是 $\omega = 1$ (即不加权的 Jacobi 方法) 和 $\omega = \frac{2}{3}$ 时迭代次数关于 k 的函数图像。

同样使精度增加两位, 不加权的 Jacobi 方法的迭代次数在 $16 \leq k \leq 48$ 时都很小 (不超过 15 次), 在 k 较小或较大时迭代次数都会很大; 加权的 Jacobi 方法在 $\omega = \frac{2}{3}$ 时, 只要 $k \geq 16$, 迭代次数都不超过 15 次, 且当 $k \geq 32$ 时迭代次数非常少, 只需最多 5 次。

这是因为, 对于不加权的 Jacobi 方法, 当 $16 \leq k \leq 48$ 时, $\sin \frac{k\pi}{2n} \in [\sqrt{1 - \frac{\sqrt{2}}{2}}, \sqrt{1 + \frac{\sqrt{2}}{2}}]$, $\lambda_k = 1 - 2 \sin^2 \frac{k\pi}{2n} \in [1 - \sqrt{2}, \sqrt{2} - 1]$, 快速收敛;

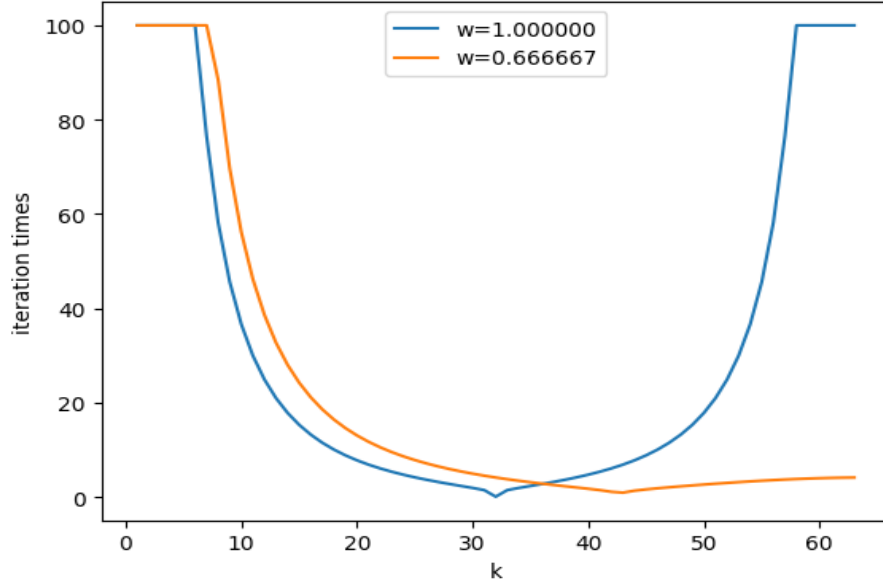


图 5: 题 9.21 图

对于加权 Jacobi 方法, 当 $k \geq 32 = \frac{n}{2}$ 时, $\sin \frac{k\pi}{2n} \in [\frac{1}{\sqrt{2}}, 1)$, $\lambda_k = 1 - 2\omega \sin^2 \frac{k\pi}{2n} \in (-\frac{1}{3}, \frac{1}{3}]$, 快速收敛。

□

习题 8 (9.35). 证明对于 $\nu_1 = \nu_2 = 1$, FMG 的计算代价小于 $\frac{2}{(1-2^{-D})^2} \text{WU}$ 。
给出 FMG 当 $D = 1, 2, 3$ 时尽可能紧的上界。

解. 先考虑 FMG-3 (即 VC 循环) 的执行次数。VC 循环要在宽度为 $h, 2h, 2^2h, \dots, 2^{m-1}h$ 的网格上各进行一次, 每次花费的代价为

$$2(2^{-kD} + 2^{-(k+1)D} + \dots + 2^{-mD})\text{WU} < \frac{2^{-kD+1}}{1-2^{-D}}\text{WU}. \quad (12)$$

其中, $k = 1, 2, \dots, m$ 。

这样, VC 循环的总代价就是

$$\frac{2}{1-2^{-D}}(2^{-D} + 2^{-2D} + \dots + 2^{-mD})\text{WU} < \frac{2^{-D+1}}{(1-2^{-D})^2}\text{WU}. \quad (13)$$

又因为 FMG-1 和 FMG-2 在每种宽度的网格上也都会执行一次, 所以

这部分的代价为

$$2(1 + 2^{-D} + 2^{-2D} + \cdots + 2^{-mD})WU = \frac{2}{1 - 2^{-D}}WU. \quad (14)$$

总代价为

$$\frac{2(2^{-D} + 1 - 2^{-D})}{(1 - 2^{-D})^2}WU = \frac{2}{(1 - 2^{-D})^2}WU. \quad (15)$$

当 $D = 1, 2, 3$ 时, 分别有上界 $8WU, \frac{32}{9}WU, \frac{128}{49}WU$ 。 \square

习题 9. 将 (9.32) 重写为

$$TG \begin{bmatrix} w_k \\ w_{k'} \end{bmatrix} = \begin{bmatrix} \lambda_k^{\nu_1 + \nu_2} s_k & \lambda_k^{\nu_1} \lambda_{k'}^{\nu_2} s_k \\ \lambda_{k'}^{\nu_1} \lambda_k^{\nu_2} c_k & \lambda_{k'}^{\nu_1 + \nu_2} c_k \end{bmatrix} \begin{bmatrix} w_k \\ w_{k'} \end{bmatrix} = \begin{bmatrix} c_1 & c_2 \\ c_3 & c_4 \end{bmatrix} \begin{bmatrix} w_k \\ w_{k'} \end{bmatrix} \quad (16)$$

解释 c_i 很小的原因。通过作出双网格校正 $n = 64, \omega = \frac{2}{3}$ 情形对应不同衰减系数的六个图像, 导出 $\rho(TG) \approx 0.1$ 的结论。对 $n = 128$ 作同样的图, 证明 $\rho(TG)$ 与 n 的大小无关。

解. 作图代码如下:

```

1  n = 64
2  w = 2/3
3
4  def lmd(w, k) :
5      return 1 - 2 * w * math.sin(k*pi / (2*n)) ** 2
6
7  def c(k) :
8      return math.cos(k*pi/(2*n))**2+
9
10 def s(k) :
11     return math.sin(k*pi/(2*n))**2
12
13 k1s = [k for k in range(1,n//2+1)]
14 k2s = [k for k in range(n//2, n)]
15
16 id = 0
17 for [v1,v2] in [[0,0],[0,2],[1,1],[2,0],[2,2],[4,0]]:
```



```

18     id += 1
19     plt.figure(id)
20     plt.xlabel('k')
21     plt.ylabel('coefficients')
22     c1s = [lmd(w, k) ** (v1+v2) * s(k) for k in range(1, n
23             //2+1)]
24     c2s = [lmd(w, n-k) ** v1 * lmd(w, k) ** v2 * s(n-k) for k
25             in range(1, n//2+1)]
26     c3s = [lmd(w, n-k) ** v1 * lmd(w, k) ** v2 * c(k) for k in
27             range(n//2, n)]
28     c4s = [lmd(w, k) ** (v1+v2) * c(n-k) for k in range(n//2, n
29             )]
30     plt.plot(k1s, c1s, label = 'c1')
31     plt.plot(k1s, c2s, label = 'c2')
32     plt.plot(k2s, c3s, label = 'c3')
33     plt.plot(k2s, c4s, label = 'c4')
34     plt.legend()

```

作图结果如图 6 至 11 所示。 $\rho(TG)$ 是图中 ρ 曲线的极大值。

由此可见, 当 $\nu_1 \neq 0$ 或 $\nu_2 \neq 0$ 时, 均有 $\rho(TG) \leq 0.1$ 。进一步当 $\nu_1 = 2, \nu_2 = 2$ 或 $\nu_1 = 4, \nu_2 = 0$ 时, $\rho(TG) \approx 0.06$ 。

将 n 改为 128, 得到图 12 到图 17。

可见把 n 改为 128 后, c_1, c_2, c_3, c_4, ρ 的值域都不变。事实上它们的图像相比 $n = 64$ 只是水平方向拉长到原来的 2 倍。显然 $\rho(TG)$ 也不变。

□

习题 10. 证明全加权算子满足

$$\dim \mathcal{R}(I_h^{2h}) = \frac{n}{2} - 1, \dim \mathcal{N}(I_h^{2h}) = \frac{n}{2}. \quad (17)$$

解. 因为 I_h^{2h} 是行满秩的, 所以

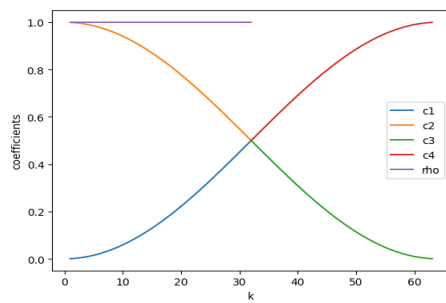
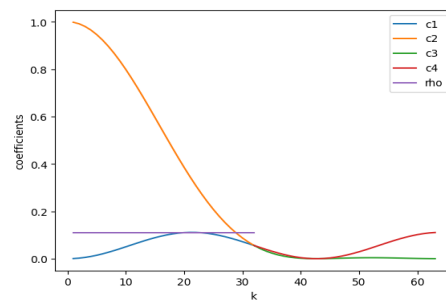
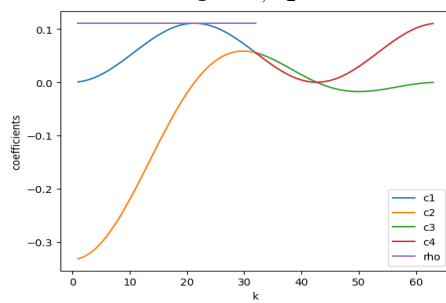
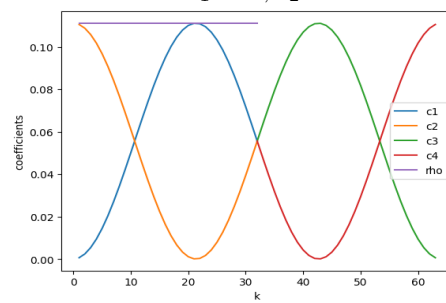
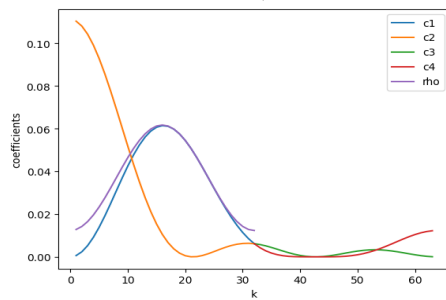
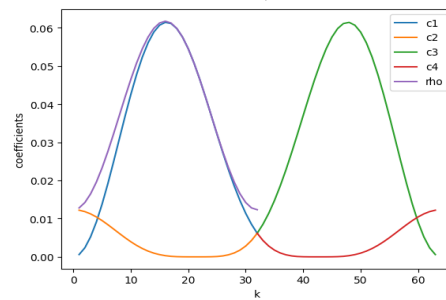
$$\dim \mathcal{R}(I_h^{2h}) = \text{rank}(I_h^{2h}) = \frac{n}{2} - 1. \quad (18)$$

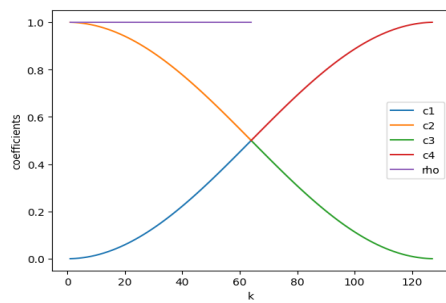
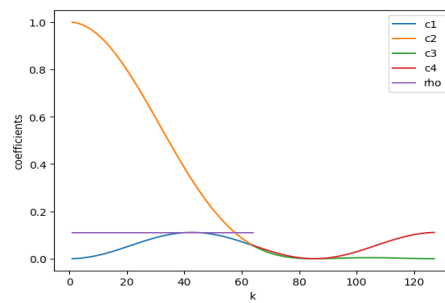
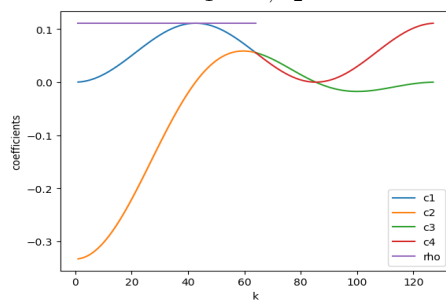
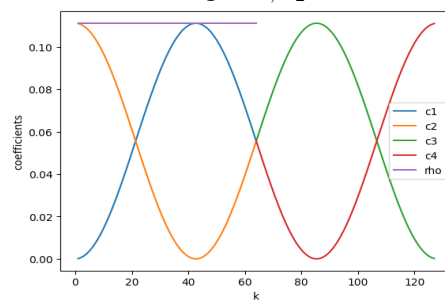
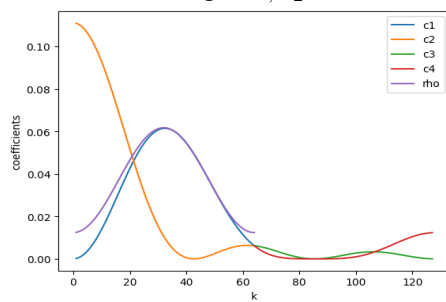
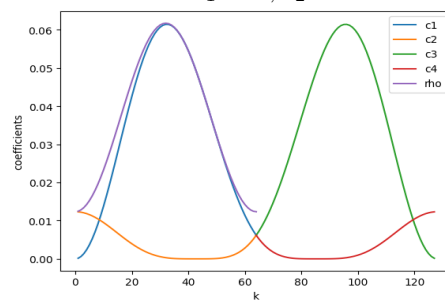
根据线性映射基本定理,

$$n - 1 = \dim R^{n-1} = \dim \mathcal{R}(I_h^{2h}) + \dim \mathcal{N}(I_h^{2h}). \quad (19)$$

所以

$$\dim \mathcal{N}(I_h^{2h}) = (n - 1) - \dim \mathcal{R}(I_h^{2h}) = (n - 1) - (\frac{n}{2} - 1) = \frac{n}{2}. \quad (20)$$

图 6: $\nu_1 = 0, \nu_2 = 0$ 图 7: $\nu_1 = 0, \nu_2 = 2$ 图 8: $\nu_1 = 1, \nu_2 = 1$ 图 9: $\nu_1 = 2, \nu_2 = 0$ 图 10: $\nu_1 = 2, \nu_2 = 2$ 图 11: $\nu_1 = 4, \nu_2 = 0$

图 12: $\nu_1 = 0, \nu_2 = 0$ 图 13: $\nu_1 = 0, \nu_2 = 2$ 图 14: $\nu_1 = 1, \nu_2 = 1$ 图 15: $\nu_1 = 2, \nu_2 = 0$ 图 16: $\nu_1 = 2, \nu_2 = 2$ 图 17: $\nu_1 = 4, \nu_2 = 0$

